

# ANALISIS KOEFISIEN REGIM SUNGAI (KRS) DI WADUK PLTA KOTOPANJANG MENGGUNAKAN MODEL HIDROLOGI SWAT

Nuridin<sup>1)</sup> dan Imam Suprayogi<sup>2)</sup>

<sup>1,2</sup> Fakultas Teknik Universitas Riau  
Email: Nuridin.gis@gmail.com; drisuprayogi@yahoo.com

## Abstract

Fluktuasi debit air antara musim hujan dan musim kemarau tidak terlepas dari kondisi medan 90-50% dari luas DTA Waduk PLTA Kotopanjang adalah kelas kemiringan diatas 40%, jenis tanah yang didominasi oleh Podsol merah kuning 50,76% dan Brown forest soil 32,28% dari luas DTA serta luasnya lahan terbuka atau penggundulan hutan yang dapat mempercepat aliran masuk ke waduk. Penelitian ini bertujuan untuk menganalisa besaran Koefisien Regim Sungai (KRS) yang terjadi berdasarkan parameter iklim, kelas lereng dan penggunaan lahan yang ada di DTA Waduk PLTA Kotopanjang. Simulasi model hidrologi SWAT yang dilakukan adalah untuk mendapatkan data karakteristik hidrologi di DTA waduk PLTA Koto Panjang berdasarkan data-data iklim (arah hujan, suhu udara, radiasi matahari, kelembaban udara, dan kecepatan angin) yang dipengaruhi oleh parameter tanah pada kondisi penggunaan lahan tahun 2011 dan 2014. Periode simulasi dilaksanakan antara tahun 2009 – 2014 dengan fase percobaan (warming-up) tahun 2009 - 2010, kalibrasi tahun 2011 – 2012, dan validasi tahun 2013 - 2014. Hubungan antara debit model SWAT dengan debit observasi menggunakan SWAT CUP SUFI II terhadap 11 parameter yang paling sensitif dan 4 parameter yang kurang sensitive ditunjukkan oleh nilai koefisien determinan ( $R^2$ ) = 0,76 dan efisiensi NS = 0,75 yang tergolong baik. Hasil validasi memperlihatkan hubungan antara debit observasi/hasil pengukuran dan debit model/simulasi dengan koefisien determinasi ( $R^2$ ) dan NS masing-masing sebesar 0,64 dan 0,60 termasuk dalam kategori memuaskan. Pada penggunaan lahan tahun 2011 menghasilkan debit maksimum ( $Q_{mak}$ ) dan debit minimum ( $Q_{min}$ ) simulasi/model masing-masing 521,70 m<sup>3</sup>/dt dan 43,61 m<sup>3</sup>/dt dengan nilai KRS sebesar 11,949. Untuk tahun 2014 debit maksimum ( $Q_{mak}$ ) dan debit minimum ( $Q_{min}$ ) simulasi/model yang dihasilkan masing-masing 532,20 m<sup>3</sup>/dt dan 42,72 m<sup>3</sup>/det dengan nilai KRS sebesar 12,212. Nilai KRS tahun 2011 dan 2014 yang masing-masing 11,949 dan 12,212 < 50 masih tergolong baik. Untuk menjaga fluktuasi antara debit maksimum dan minimum agar tidak terlalu besar diperlukan usaha pengelolaan penggunaan lahan yang cocok dan sesuai dengan kondisi/situasi di lapangan terutama dalam jenis vegetasinya.

**Keywords :** Daerah tangkapan air, iklim, kemiringan lahan, penggunaan lahan, model SWAT, koefisien regim sungai.

## PENDAHULUAN

Bangunan Waduk PLTA Kotopanjang a. Peningkatan kemampuan tangkapan air sekitar 20 km dari Bangkinang atau b. Peningkatan kemampuan tangkapan air dari Kota Pekanbaru, dibangun pada tahun 1992 dan dioperasikan pada tahun 1997 dengan pasokan air utama dari Batang Kampar yang berhulu di Kecamatan Mapat Sungai Selatan Kabupaten Pasaman dan Batang Mahat berhulu di Kecamatan

Pangkalan Koto Baru Kabupaten Lima Puluh Kota-Sumatra Barat (PLN, 2002) dalam Siagian, 2010) <sup>[1]</sup>. Luas DTA atau *catchment area* Waduk PLTA Kotopanjang adalah 3.337 km<sup>2</sup>, genangan waduk 124 km<sup>2</sup> (12.400 ha), muka air maksimal 85 mdpl pada kondisi persediaan air penuh (*full supply*) dapat memproduksi listrik 114 MW (3x38 MW) atau 542 GWh/tahun (PT. PLN (Persero), 2014) <sup>[2]</sup>. Disamping fungsi utama waduk sebagai Pembangkit Listrik Tenaga Air, dapat juga dimanfaatkan sebagai sarana transportasi, objek wisata, kegiatan perikanan, pertanian



dan keperluan mandi cuci kakus (MCK) (Rosalina *et al.*, 2014) )<sup>[3]</sup>.

Permasalahan yang sering terjadi di perairan Waduk PLTA Kotopanjang dalam menghasilkan tenaga listrik adalah, fluktuasi debit air antara musim kemarau dan musim hujan yang mempengaruhi tinggi permukaan air waduk. Apabila terjadi penurunan tinggi permukaan air di bawah 73,50 mdpl ke 3 turbin yang ada tidak bisa beroperasi semua, berdasarkan data pengusahaan Unit PLTA Kotopanjang dalam 15 tahun (2001 – 2015) tercatat level air tertinggi rata-rata bulanan terjadi pada bulan Februari 2010 adalah 84,20 mdpl, sedangkan level air terendah rata-rata bulanan terjadi pada bulan Oktober 2015 adalah 74,39 mdpl. Fluktuasi debit air antara musim hujan musim kemarau tidak terlepas dari kondisi medan 90,50% dari luas DTA Waduk PLTA Kotopanjang adalah kelas kemiringan di atas 40%, yang sangat berpotensi untuk mempercepat curah hujan sampai ke daerah dengan kelas kemiringan terendah lebih kecil dari 8% yang hanya 1,98% dari luas DTA. Disamping itu jenis tanah yang ada di DTA Waduk PLTA Kotopanjang yang luasnya didominasi oleh jenis Podsol merah kuning 50,76% dan Brown forest soil 32,28% dari luas DTA dan berdasarkan hasil uji sifat fisik tanah untuk jenis Podsol merah kuning ini mempunyai kadar air 12,75% dengan permeabilitas 3,68%. Hasil intrepretasi citra Landsat tahun 2002 tutupan lahan di DTA Waduk Kotopanjang terdiri dari belukar/alang-alang 407,923 km<sup>2</sup>, hutan 1.167.080 km<sup>2</sup>, kebun campuran 632,921 km<sup>2</sup>, lahan terbuka 241,665 km<sup>2</sup>, tanaman budidaya 668,981 km<sup>2</sup> (Mulyadi, 2003) )<sup>[4]</sup>. Namun menurut Muslichne (2010) )<sup>[5]</sup>. dalam selang 8 tahun tutupan lahan di DTA Waduk PLTA Kotopanjang didapatkan belukar/alang-alang 306,123 km<sup>2</sup>, hutan 904,327 km<sup>2</sup>, kebun campuran 343,021 km<sup>2</sup>, lahan terbuka 374,204 km<sup>2</sup>, tanaman budidaya 966,695 km<sup>2</sup>. Faktor hasany lahan terbuka atau penggundulan PLTA dapat mempercepat aliran masuk ke waduk dan berdampak pula terhadap tingginya tingkat erosi yang selanjutnya menyebabkan terjadinya pendangkalan yang dapat memperkecil volume tampungan waduk.

Dengan pemanfaatan teknologi *Geographic Information system* (GIS) lebih mengarah pada teknologi informasi yang digunakan untuk pengumpulan, penyimpanan,

analisa dan penampilan data-data spasial (*geographic*) dan data-data non spasial, dengan komponen yang terdiri dari komputer (*software* dan *hardware*), data spasial (sel grid raster, titik, garis, dan poligon), dan tabulator data atribut (Charter, 2004)<sup>[6]</sup>. Model SWAT yang dikemukakan oleh adalah merupakan suatu model analisa sungai atau DAS, yang dikembangkan oleh Dr Jeff Arnold untuk USDA *Agricultural Research Service* (ARS) (Neitsch *et al.*, 2011) )<sup>[7]</sup>. Dengan demikian model SWAT ini dapat dimanfaatkan untuk menganalisa besarnya Koefisien Regim Sungai (KRS) yang disebabkan pengaruh iklim, penggunaan lahan, dan jenis tanah dalam suatu DTA.

## 2. METODE PENELITIAN

### 2.1 Lokasi Penelitian

Lokasi penelitian ini adalah DTA dan Waduk PLTA Kotopanjang dalam Provinsi Sumatera Barat Kabupaten Pasaman Kecamatan Mapat Tunggul Selatan, Kabupaten Lima Puluh Kota Kecamatan Kapur IX, Bukik Barisan dan Pangkalan Koto Baru, dan dalam wilayah Provinsi Riau Kabupaten Kampar adalah Kecamatan Koto Kampar Hulu dan XIII Koto Kampar.

### 2.2 Peralatan dan Sumber Data

Peralatan uji sampel tanah di Laboratorium Tanah Fakultas Petanian Universitas Riau dan perangkat keras berupa GPS untuk pengambilan koordinat titik sampel penutup lahan, sampel tanah dan perangkat komputer yang cukup untuk menjalankan sistem operasi dan aplikasi sistem informasi geografis dan SWAT.

Perangkat lunak yang terdiri dari perangkat lunak SIG untuk pengolahan citra, perangkat lunak SWAT yang terdiri dari ArcSWAT dan SWATCUP untuk model hidrologi.

Data primer berupa pengambilan sampel jenis tanah dan lokasi penggunaan lahan yang ada di dalam wilayah DTA Waduk PLTA Kotopanjang, serta pengambilan sampel tanah sesuai dengan jenis tanah yang ada di dalam DTA Waduk PLTA Kotopanjang.

Sedangkan data sekunder diperoleh dengan cara mengumpulkan jurnal penelitian, citra Landsat 7 tahun 2011, citra Landsat 8 tahun 2014, citra Shuttle Radar Topography Mission (STRM) 90 x 90 m, Peta Administrasi

Kabupaten Kampar, Pasaman, dan Lima Puluh Kota tahun 2010, Peta penggunaan lahan tahun 2011, Peta Sungai Rupa Bumi Indonesia, Peta jenis tanah dan Peta kelas lereng, data iklim yang terdiri temperatur, kelembaban relatif, angin, dan radiasi matahari dipakai data hasil unduhan data curah hujan stasiun Batu Berurutan dan stasiun Silam dan stasiun Tanjung Pati, serta data debit dan level air Waduk WILTA Kotopanjang tahun 2009 – 2011.

### 2.3 Metode Penelitian

Data Peta penggunaan lahan tahun 2011 yang tertutup awan diklasifikasi ulang dengan bantuan citra Lansat 7 tahun 2011 dan Peta penggunaan lahan tahun 2014 diklasifikasi menggunakan citra Landsat 8 tahun 2014 dengan jumlah kelas berpedoman pada Peta penggunaan lahan tahun 2011 dengan menggunakan perangkat SIG. Untuk kepentingan dalam menjalankan model hidrologi ArcSWAT dan SWAT CUP SUFI, Peta administrasi Kabupaten Kampar, Pasaman dan Lima Puluh Kota yang telah digabung Peta penggunaan lahan tahun 2011 dan 2014 Peta sungai RBI, Peta kelas lereng, Peta jenis tanah, dilakukan transformasi koordinat kedalam proyeksi UTM datum WGS 84 zone 47.

Pengisian data atribut tanah ke dalam file SOI pada database SWAT dalam dua jenis bagian sifat fisik dan kimia tanah, masukan untuk jenis tanah terdiri dari nama tanah (SNAM), jumlah horizon (Nlayer), group hidrologi tanah (HYDGRP), kedalaman efektif (ZMX) dan tekstur semua lapisan tanah. Pengisian masukan data untuk masing-masing horizon meliputi ketebalan horizon dalam mm ( $h$ ), bulk density dalam  $g/cm^3$  ( $\rho_b$ ), kapasitas menahan air dalam mm ( $H_2O$ ), kandungan organik dan debu (% bobot tanah), kandungan bahan organik dan fraksi batuan (% berat batuan), Saturated Hidroulic Conductivity dalam mm/jam ( $SOL_K$ ), nilai erodibilitas tanah menurut USLE. Memasukkan data iklim (*Weather Generator*) ke dalam database SWAT yang terdiri dari temperatur udara minimum dan maksimum harian ( $^{\circ}C$ ), curah hujan harian (mm), kecepatan angin harian ( $m/s$ ), kelembaban udara harian (fraksi) radiasi sinar matahari harian ( $MJ/m^2$ ) dalam membentuk weather generator yang disimpan dalam file untuk TMP, PCP, WIND, RH dan

SOLAR yang berisikan ID, NAME, LATITUDE, LONGITUDE dan ELEVATION, sedangkan file T, P, W, R adalah data iklim harian tahun 2009 – 2014.

Untuk menjalankan model SWAT yang pertama dilakukan adalah pembuatan project ArcSWAT. Dalam model SWAT deliniasi batas DTA atau DAS dilakukan sendiri oleh program atau disebut *Watershed Delineator*, dengan meng-overlay titik SPAS, Peta sungai RBI dan Peta DEM sebagai variabel pembentuk *Watershed*. Hasil Peta *watershed* di-overlay menggunakan perintah clip pada *geoprocessing* terhadap masing-masing Peta penggunaan lahan tahun 2011 dan 2014, Peta jenis tanah, Peta kelas lereng hingga luasnya sama dengan luas *watershed* atau DTA. Pembentukan Hidrological Response Unit (HRU) dengan mendefinisikan *dataset* tutupan lahan, jenis tanah, kelas lereng dan klasifikasi berdasarkan atribut tutupan lahan, jenis tanah, kelas lereng dan overlay *dataset* tutupan lahan, jenis tanah dan kelas lereng. *Running ArcSWAT* dimulai dari *Starting Date* atau *Editing Date* dalam format tanggal/bulan/tahun, *Rainfal ditribution* jika data iklim yang akan digunakan adalah keluaran dari *Weather Generator Data*, pemilihan *Printout Setting* dengan pilihan *Daily* atau *Monthly* dengan mengisi kolom NYSKIP dengan angka 2 yang artinya data yang digunakan adalah 2 tahun data sebagai *warmingup* model dan *uncheck list* pilihan *Limit HRU Output*, pada *Setup SWAT Run* akan memperlihatkan jendela *Finished SWAT Setup* dan OK untuk menjalankan simulasi.

Untuk menjalankan *uotput* simulasi pada SWAT Simulation pilih *Read SWAT Output* yang mempunyai *checklist output.rch*, *output.sub*, dan *output.hru* yang masing-masing *check list* ini menunjukkan level dari *output* hasil simulasi. *Output.rch* hasil simulasi pada level sungai (*reach*), *output.sub* hasil simulasi pada level *sub basin* dan *output.hru* hasil simulasi pada level HRU, semua *file* ini tersimpan dalam folder *Txtin Out* di foldel *Scenario*. *Inport File to Database* adalah untuk memunculkan jendela *Mirosoft Acces* berisikan *file* hasil simulasi di *checklist* dan dengan memberikan nama *file* pada kotak *Save SWAT Simulation* secara otomatis akan tersimpan saat menjalankan perintah *Save Simulation*.



Model SWAT menggunakan SWAT-CUP SUFI 2 pada proses kalibrasi merupakan penujian model agar dapat menggambarkan keadaan yang sebenarnya, sedangkan validasi adalah perbandingan secara visual antara kurva debit hasil simulasi dengan kurva hasil pengukuran stasiun pengamatan (Neitsch *et al.*, 2001)<sup>[7]</sup>. Analisa statistik yang digunakan dalam kalibrasi dan validasi adalah koefisien Nash Sutcliffe (NS), dan koefisien determinasi ( $R^2$ ) seperti yang dikemukakan oleh Nash-Sutcliffe (1970) dalam Abbaspour (2015)<sup>[8]</sup> dan dilakukan juga oleh: Mechram *et al.* (2012)<sup>[9]</sup>, Hunink *et al.* (2013)<sup>[10]</sup>, Adeniyi *et al.* (2014)<sup>[11]</sup>, Firdaus *et al.* (2014)<sup>[12]</sup>, Ridwansyah *et al.* (2014)<sup>[13]</sup>, Andono *et al.* (2014)<sup>[14]</sup>, Mubarak *et al.* (2015)<sup>[15]</sup>, dan Ferijal *et al.* (2015)<sup>[16]</sup>.

1. Nash-Sutcliffe (NS) dihitung dengan persamaan;

$$NS = 1 - \frac{\sum_i (Q_{si} - Q_{mi})^2}{\sum_i (Q_{si} - \bar{Q}_{mi})^2} \quad (1)$$

NS = koefisien Nash Sutcliffe

$Q_{si}$  = variabel pengamatan (debit aktual),

$Q_{mi}$  = variabel hasil simulasi (debit hasil model),

$\bar{Q}_{mi}$  = variabel rata-rata (rata-rata debit terukur) Koefisien determinasi ( $R^2$ ) atau persamaan linier dihitung dengan;

$$R^2 = \frac{[\sum_i (Q_{mi} - \bar{Q}_m)(Q_{si} - \bar{Q}_s)]^2}{[\sum_i (Q_{mi} - \bar{Q}_m)^2 \sum_i (Q_{si} - \bar{Q}_s)^2]} \quad (2)$$

$Q_{mi}$  = variabel pengamatan (debit aktual) (mm),

$\bar{Q}_m$  = variabel rata-rata pengamatan (debit aktual rata-rata terukur) (mm),

$Q_{si}$  = variabel perhitungan model (debit hasil simulasi) (mm),

$\bar{Q}_s$  = variabel rata-rata perhitungan model (debit hasil simulasi) (mm),

dengan nilai  $R^2$  antara 0 – 1.

2. Karakteristik Hidrologi menggunakan Model SWAT sebagai dampak penggunaan lahan terhadap karakteristik hidrologi menggunakan model SWAT ini untuk mendapatkan Koefisien

Regim Sungai (KSR) berdasarkan (Pramono *et al.*, 2014)<sup>[17]</sup>.

1. Koefisien rezim sungai (KRS) ;

$$KRS = \frac{Q_{maks}}{Q_{min}} \quad (3)$$

$Q_{maks}$  = debit harian rata-rata (Q) tahunan tertinggi,

$Q_{min}$  = debit harian rata-rata (Q) tahunan terendah.

### 3. HASIL DAN PEMBAHASAN

#### 3.1. Pengisian Data Atribut

Pengisian data atribut tanah ke dalam file SOL pada database SWAT dalam hal ini ArcSWAT 2012 dalam dua jenis bagian sifat fisik dan kimia tanah, masukan untuk jenis tanah terdiri dari nama tanah (SNAM), jumlah horizon (Nlayer), group hidrologi tanah (HYDGRP), kedalaman efektif (SOL\_ZMX) dan tekstur semua lapisan tanah. Pengisian masukan data untuk masing-masing horizon meliputi ketebalan horizon dalam mm (SOL\_Z), bulk density dalam g/cm<sup>3</sup> (SOL\_BD), kapasitas menahan air dalam mm H<sub>2</sub>O/mm tanah (SOL\_AWC), kandungan liat, pasir dan debu (% bobot tanah), kandungan bahan organik dan fraksi batuan (% berat batuan), Saturated Hidroulic Conductivity dalam mm/jam (SOL\_K), nilai erodibilitas tanah menurut USLE. Pengisian data atribut berdasarkan kriteria hasil uji sifat fisik tanah terdiri dari jenis tanah Aluvial, Podsolik merah kuning, dan Latosol adalah nilai C-Organik, Kadar air, Tekstur (pasir, debu, liat), Permeabilitas, BD, PD, TRP dan Erodibilitas. Sedangkan untuk pengisian data kedalaman lapisan adalah berdasarkan pengambilan sampel kedalaman lapisan tanah pada tiap jenis tanah tersebut.

Memasukkan data iklim kedalam database SWAT yang terdiri dari temperatur udara minimum dan maksimum harian (°C), curah hujan harian (mm), kecepatan angin harian (m/dt), kelembaban udara harian (fraksi) radiasi sinar matahari harian (MJ/m<sup>2</sup>) dalam membentuk weather generator yang disimpan dalam file untuk TMP, PCP, WIND, RH dan SOLAR yang berisikan ID, NAME, LATITUDE, LONGITUDE dan ELEVATION, sedangkan file T untuk temperatur, P untuk curah hujan, W untuk



kecepatan angin, R untuk kelembaban, dan S untuk sinar matahari adalah data iklim harian tahun 2009 – 2014 dalam format *notepad* yang dapat diisikan ke dalam file TMP, PCP, WIND, RH, dan SOLAR dalam pembentukan *weather generator*. Data unduhan dari *project Global Weather* yang digagas Texas A&M University (TAMU) berupa data iklim yang ditujukan sebagai input data bagi program ArcSWAT dalam wilayah kajian adalah 3 (tiga) stasiun yang memberikan data unsur iklim wilayah Waduk PLTA Kotopanjang untuk data temperatur, kelembaban, kecepatan angin, dan sinar matahari, sedangkan data curah hujan menggunakan data stasiun hujan Batu Berurat, Silam dan Tanjung Pati.

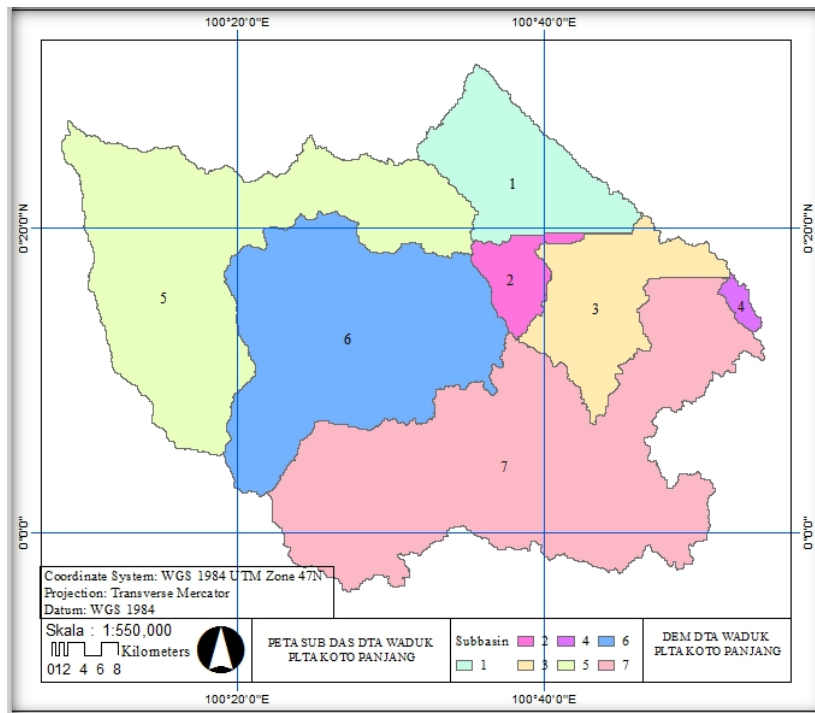
### 3.2. Karakteristik Hidrologi dengan Model SWAT

Karakteristik hidrologi di Waduk PLTA Kotopanjang dianalisa menggunakan model SWAT dengan rangkaian kegiatan berupa deliniasi DAS (*Watershed Delineator*), pembentukan HRU (*Hydrologi Respond Unit*), basis data iklim (*Weather Generator Data*), menjalankan (simulasi) model SWAT menggunakan ArcSWAT 2012, kalibrasi dan validasi model menggunakan SWAT CUP

### 1. Delineasi DAS (*Watershed Delineator*)

Citra Shuttle Radar Topography Mission (STRM) 90 x 90 m, sesuai dengan jaringan anak sungai dan sungai utama didelineasi secara otomatis. Setelah diuji cobakan untuk mendapatkan 7 sub DAS seperti pada Gambar 1, berdasarkan tinjauan pustaka *trshold* (ambang batas) yang untuk pembentukan 7 sub DAS tersebut sebesar 24.000 ha. Sehingga luas Sub DAS yang terdelineasi untuk wilayah Waduk PLTA Kotopanjang adalah seluas 330.240,36 ha.

Dari 7 sub DAS yang didapat Sub DAS yang mempunyai luasan terbesar terdapat pada Sub DAS 7 dengan luas 127.777,19 ha (38,69%), Sub DAS yang terkecil terdapat pada Sub DAS 3 dengan luas 3.765,93 ha (1,14%) dari luas DTA sedangkan *Outlet* waduk terdapat pada Sub DAS 4. Sumber air Waduk PLTA Kotopanjang dari sebelah Utara sumber air dari Batang Kampar Kanan dalam Sub DAS 5 dan Sub DAS 1 yang bergabung dengan bagian Tengah dengan sumber air dari Batang Kapur berada pada Sub DAS 6, Sub DAS 2 dan Sub DAS 3. Dari sebelah Selatan dengan sumber air dari Batang Mahat berada pada Sub DAS 7 dan Sub DAS 4 tempat berdirinya bendungan PLTA Kotopanjang.



Gbr. 1. Peta Delineasi DAS Model SWAT Waduk PLTA Kotopanjang

## 2. Penyamaan Luas Peta terhadap luas Watershed

Dari hasil luas watershed yang telah didapat dari proses watershed delineator sebagai Peta Sub-DAS atau DTA Waduk PLTA Kotopanjang maka dilakukan penyamaan luas terhadap peta-peta lain yang digunakan dalam penelitian ini. Peta-peta ini adalah Peta Administrasi, Peta kelas lereng, Peta penggunaan lahan tahun 2011 dan 2014, dan Peta jenis tanah

dengan proses *processing* dengan tool *clip* sehingga diperoleh luasan yang sama dengan Peta Sub-DAS atau DTA Waduk PLTA Kotopanjang. Hal ini adalah untuk mempermudah dalam proses pembentukan Hydrological Response Unit (HRU) yang dilakukan dalam analisis karakteristik hidrologi. Hasil penyamaan luas terhadap peta-peta yang dipergunakan dalam analisis karakteristik hidrologi adalah :

### a. Peta Jenis Tanah

Jenis tanah yang ada di dalam wilayah DTA Waduk PLTA Kotopanjang terdiri dari 4 (empat) jenis tanah yakni, aluvial, podsolik merah kuning, dan Latosol. Didominasi oleh jenis podsol merah kuning 50,76% dari luas DTA tersebar di wilayah Riau yakni, Kabupaten Kampar 20,68%, dan di wilayah Sumatera Barat yang terdiri dari Kabupaten Pasaman 6,95% dan Kabupaten Lima Puluh Kota 40,98% dari luas masing-masing Kabupaten dalam DTA.

### b. Kelas Lereng

Dari topografi yang ada kelas kemiringan tersebut dibagi dalam 5 kelas yakni, kelas lereng < 8%, 8 – 15%, kelas lereng 16 – 25%, kelas lereng 26 – 40%, dan kelas lereng > 40%. Kelas kemiringan lereng > 40% mendominasi sebagian besar wilayah DTA Waduk PLTA Kotopanjang, sedangkan kelas kemiringan 26 – 40% dibagian Utara dan Selatan, bagian Barat, begitu juga dengan kelas kemiringan < 8%, 8 -15%, dan 16 – 25% bagian tengah Utara, Selatan dan

### c. Penggunaan Lahan

Penggunaan lahan merupakan pemanfaatan sebidang lahan untuk tujuan tertentu, penggunaan lahan untuk pertanian secara umum dapat dibedakan atas

penggunaan semusiman, tahunan, dan permanen (Caya, *et al.*, 2014)<sup>[18]</sup>. Penggunaan lahan yang ada di DTA Waduk PLTA Kotopanjang tahun 2011 berasal dari rekaman citra Landsat 7 dari hasil klasifikasi Visual metode *semi automatic* dengan teknik *on screen digitizing* kombinasi band 4-5-3 dimana, berbagai kenampakan vegetasi baik alami maupun yang ditanam dapat terlihat dengan jelas.

Penggunaan lahan 2011 didominasi oleh 4 jenis penggunaan lahan yakni, hutan lahan kering primer (HP) 80.827,97 ha (25,40%), hutan lahan kering sekunder (Hs) 69.246,66 ha (21,76%), pertanian lahan kering (pt) 78.030,07 ha (24,52%), dan pertanian lahan kering bercampur semak (Pc) 72.955,82 ha (22,93%) masing-masing dari luas daratan Kabupaten yang ada di dalam DTA Waduk PLTA Kotopanjang.

Penggunaan lahan tahun 2014 juga didominasi oleh 4 jenis penggunaan lahan yakni, Penggunaan lahan hutan lahan kering primer (HP) 73.824,60 ha (23,20%), hutan lahan kering sekunder (Hs) 66.561,76 ha (20,91%), pertanian lahan kering (pt) 85.355,61 ha (26,82%), pertanian lahan kering bercampur semak (Pc) 71.823,14 ha (22,57%) masing-masing dari luas daratan DTA tersebar dalam 3 kabupaten yang ada.

Berkurangnya luas kawasan hutan selama tahun 2011- 2014 adalah sebesar 9.688,27 ha (3,06%) dari luas daratan DTA, dan pada tahun 2014 kawasan hutan yang masih tersisa adalah 140.386,37 ha (44,11%) > 30% seperti yang dipersyaratkan oleh Undang-undang Nomor 41 tahun 1999. Jika dibandingkan dengan Sihotang (2012)<sup>[19]</sup> kawasan hutan di DTA Danau Toba hanya tersisa 23,83% dari luas daratan DTA Danau Toba dan Maryanto *et al.* (2014)<sup>[20]</sup> luasnya kawasan hutan DAS Way Besay hanya tersedia 13,60% dari luas DTA DAS Way Besay.

## 3. HRU (*Hydrologic Response Unit*)

Hasil reklasifikasi dan overlay dalam model SWAT diperoleh luasan penggunaan lahan, jenis tanah, dan kelas lereng dengan rasio ambang (*threshold by presentage*) berdasarkan Lampiran Peraturan Dirjen BPDASPS No. P.2/V-SET/2015, 5% untuk penggunaan lahan (jika poligon penggunaan lahan luasnya kurang dari 5% akan masuk ke dalam poligon terdekat), 5% untuk jenis tanah, dan 5% untuk kelas lereng. Proses ini



menghasilkan 60 HRU yang mempunyai karakteristik yang berbeda dari setiap HRU. HRU yang mempunyai penggunaan lahan, jenis tanah yang berada pada kelas lereng yang sangat curam > 40% dengan luas 187.857,81 ha atau 56,90% dari luas DTA.

#### 4. Simulasi Model SWAT

Simulasi dalam menjalankan model SWAT menggunakan ArcSWAT 2011.10.18, adalah suatu proses untuk mendapatkan data karakteristik hidrologi di DTA waduk PLTA Koto Panjang berdasarkan data-data iklim (curah hujan, suhu udara, radiasi matahari, kelembaban udara, dan kecepatan angin) tahun 2009 - 2014, yang dipengaruhi oleh karakteristik tanah pada kondisi penggunaan lahan tahun 2011 dan 2012. Periode simulasi yang dilaksanakan pada tahun 2009 - 2014 dengan fase percobaan (warming-up) tahun 2009 - 2010, kalibrasi tahun 2011 - 2012, dan validasi tahun 2013 - 2014. Hubungan antara debit model SWAT dengan debit observasi ditunjukkan oleh nilai koefisien determinasi ( $R^2$ ) dan efisiensi NS. Untuk mendapatkan  $R^2$  dan NS maka proses selanjutnya adalah melakukan proses kalibrasi.

#### 4.1 Kalibrasi Model

Proses kalibrasi ini adalah untuk menyesuaikan parameter-parameter yang berpengaruh terhadap model yang dapat memperkecil perbedaan hasil debit model SWAT dengan debit observasi menggunakan SWAT-CUP SUFI 2. Data debit bulanan yang digunakan dalam proses kalibrasi, dimulai dari tanggal 1 Januari 2011 hingga 31 Desember 2012 pada penggunaan lahan tahun 2011. Nilai koefisien determinasi ( $R^2$ ) dan efisiensi Nash-Sutcliffe (NS) simulasi kalibrasi sebelum ada masukan parameter kalibrasi masing-masing adalah 0,67 dan 0,59 dengan hasil cukup memuaskan.

Untuk mendapatkan nilai  $R^2$  dan NS yang lebih baik perlu dilakukan kalibrasi dan mendapatkan 15 parameter sensitif (Tabel 1) yang dilakukan dengan merubah nilai absolut parameter yang berpengaruh yaitu CN2, ALPHA\_BF, GW\_DELAY, GWQMN, GW\_REVAP, ESCO, CH\_N2, CH\_K2, ALPHA\_BNK, SOL\_AWC, SOL\_K, SOL\_BD, SURLAG, USLE\_P, dan SLSUBBSN. Pada penelitian terdahulu Anaba, *et al.* (2017)<sup>[21]</sup> mendapatkan 16 parameter

paling berpengaruh di DTA Murchison Bay-Uganda, Seur *et al.* (2016) mendapatkan 13 parameter di DAS Weyib Pegunungan Bale-Tenggara Ethiopia, Mubarak *et al.* (2015)<sup>[15]</sup> mendapatkan 13 parameter di DAS Way Betung-Provinsi Lampung, dan Adeniyi *et al.* (2014)<sup>[11]</sup> di DTA Gumera-Ethiopia mendapatkan 10 parameter.

Berdasarkan coba-coba (trial and error) terhadap nilai absolut tersebut diperoleh nilai terpasang (fitted value) untuk ; CN2 sebesar 36,37, ALPHA\_BF sebesar 0,67 hari, GW\_DELAY sebesar 43,30 hari, GWQMN sebesar 321,68 mm(H<sub>2</sub>O), GW\_REVAP sebesar 0,09, ESCO sebesar 0,16, CH\_N2 sebesar 0,03 CH\_K2 sebesar 254,69 mm/jam, ALPHA\_BNK sebesar 0,16 hari, SOL\_AWC sebesar 0,16 mm (H<sub>2</sub>O)/mm, SOL\_K sebesar 254,13 mm/jam, SOL\_BD sebesar 0,89 g/cm<sup>3</sup>, SURLAQ sebesar 4,16 hari, USLE\_P sebesar 0,953, dan SLSUBBSN sebesar 31,439 m. Parameter masukan yang memberikan pengaruh terhadap hasil nilai  $R^2$  dan NS dalam proses kalibrasi terdiri dari 11 parameter yang paling sensitif dan 4 parameter yang kurang sensitive berdasarkan kriteria sensitif jika, P-value < 0,05 atau t-stat > P-value. Kalibrasi terhadap debit model/simulasi menggunakan data debit observasi tahun 2011 - 2012 dengan penggunaan lahan tahun 2011 menghasilkan nilai koefisien determinasi  $R^2$  dan nilai efisiensi NS masing-masing 0,76 dan 0,75.

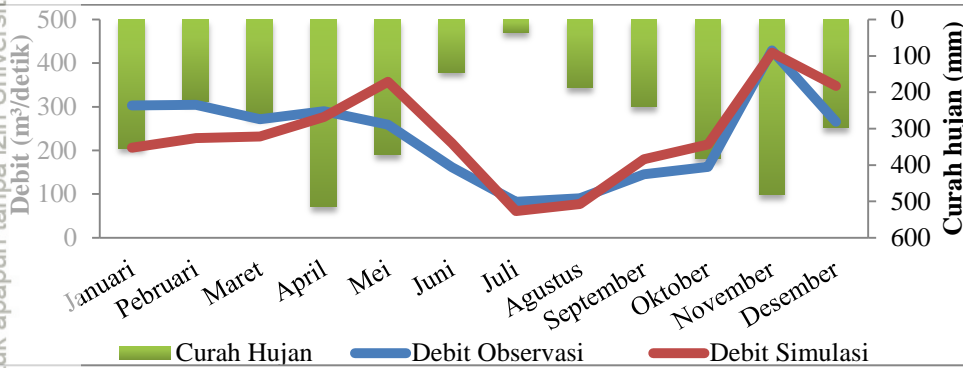
Nilai koefisien Nash Sutcliffe (NS) = 0,75 tergolong dalam keadaan baik ( $0,65 < N \leq 0,75$ ) berdasarkan Moriasi (2007)<sup>[22]</sup>. Hasil  $R^2 = 0,76$  dan NS = 0,75 yang didapat bila dibandingkan dengan Hidayat *et al.* (2016)<sup>[23]</sup>  $R^2$  dan NS lebih kecil (0,74 dan 0,73) Adeniyi *et al.* (2014)<sup>[11]</sup>  $R^2$  sama (0,76) dan NS kecil (0,72), Mubarak (20015)<sup>[15]</sup>  $R^2$  lebih besar (0,86) dan NS lebih kecil (0,70), Singh (2013)<sup>[24]</sup>  $R^2$  lebih kecil dan NS lebih kecil (0,6 dan 0,57) dan Ferijal (2012)<sup>[25]</sup>  $R^2$  lebih besar dan NS lebih besar (0,99 dan 0,99).

Dari grafik hidrograf debit model/simulasi, debit observasi dan curah hujan tahun 2011 yang disajikan pada Gambar 2 memperlihatkan bahwa, curah hujan bulanan tertinggi yang terjadi pada bulan April 2011 sebesar 515,50 mm, sedangkan debit observasi bulanan tertinggi terjadi pada bulan November 2011 sebesar 429,10 m<sup>3</sup>/dt, dan



debit model/simulasi tertinggi terjadi pada bulan November 2011 sebesar 424 m<sup>3</sup>/dt. Hal ini menunjukkan tingginya curah hujan, tidak langsung menyebabkan naiknya debit observasi tapi curah hujan sebagian besar tersimpan dalam tanah berupa cadangan air tanah, debit model/simulasi menunjukkan kinerja model dapat diterima karena terjadi

pada bulan yang sama dengan bulan debit observasi. Sedangkan Curah hujan bulanan terendah 36,00 mm terjadi pada bulan Juli 2011, hal ini sejalan dengan terjadinya debit observasi terendah 82,40 m<sup>3</sup>/dt, dan debit model/simulasi terendah 61,10 m<sup>3</sup>/dt juga masing-masing terjadi pada bulan Juli 2011.



Gbr. 2. Grafik Hidrograf debit simulasi, debit observasi dan curah hujan tahun 2011 di DTA Waduk PLTA Koto Panjang hasil kalibrasi

Tab. 1. Nilai Absolut parameter yang berpengaruh terhadap nilai R<sup>2</sup> dan NS menggunakan SWAT-CUP

Parameter	Keterangan	Fitted Value	Rentang	Satuan
SCS CN2	(SCS Curve Number) Jenis penggunaan lahan berdasarkan kelompok hidrologi tanah	36,37	35 – 98	-
ALPHA2F	Faktor alpha aliran dasar	0,67	0 - 1	hari
GW DELAY	Waktu pengisian air tanah	43,30	0 - 500	hari
GW RFR	Kedalaman ambang air akuifer dangkal yang dibutuhkan	321,68	0 - 5000	mm (H2O)
GW RECH	Koefisien penguapan air tanah	0,09	0,02 – 0,2	-
SCS CN2	Faktor pergantian evaporasi tanah	0,16	0 - 1	-
SCS CN2	Niali kekasaran Manning pada saluran utama	0,03	-0,01 – 0,3	-
SCS CN2	Konduktivitas pada saluran utama	254,69	-0,01 - 500	mm/jam
SCS CN2	Faktor aliran dasar untuk penyimpanan	0,16	0 - 1	hari
SCS CN2	Kapasitas air tersedia pada lapisan tanah	0,73	0 - 1	Mm (H2O)/mm tanah
SCS CN2	Konduktivitas hidrolik dalam keadaan jenuh	254,13	0 - 200	mm/jam
SCS CN2	Kerapatan jenis tanah	0,89	0,9 – 2,5	g/cm <sup>3</sup>
SCS CN2	Koefisien jeda aliran permukaan	4,16	0,05 - 24	hari
SCS CN2	Faktor pengelolaan lahan USLE	0,38	1 - 1	-
SCS CN2	Panjang kemiringan aliran permukaan	30,14	10 - 150	m

#### Validasi Model

Validasi model SWAT menggunakan SWAT-CUP SUFI 2 dilakukan memakai set data parameter hasil klasifikasi agar konsisten parameter kalibrasi tersebut dapat diterapkan terhadap data observasi lainnya dilapangan. Data debit observasi di DTA

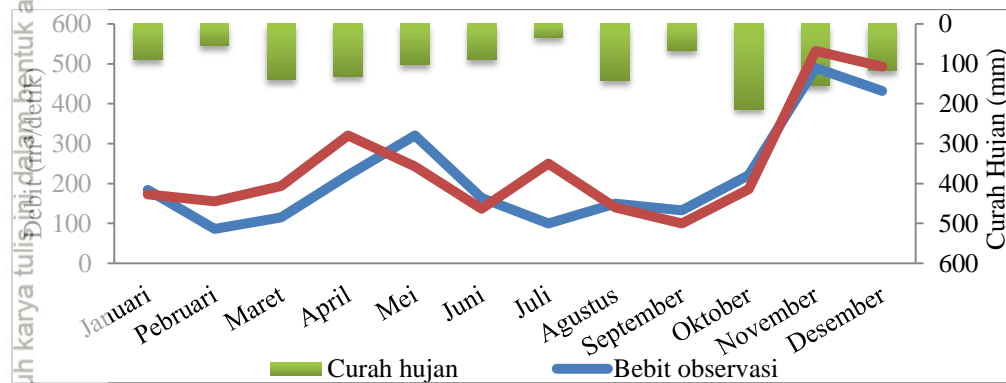
Waduk PLTA Kotopanjang dalam proses validasi adalah data tahun 2013 – 2014 untuk penggunaan lahan tahun 2014. Hasil validasi memperlihatkan hubungan antara debit observasi/hasil pengukuran dan debit model/simulasi menggunakan SWAT CUP SUFI 2 dengan koefisien determinasi (R<sup>2</sup>) dan



NS masing-masing sebesar 0,64 dan 0,60. Nilai koefisien Nash Sutcliffe (NS) sebesar 0,64 termasuk dalam kategori memuaskan ( $0,50 < NS \leq 0,65$ ) berdasarkan Moriasi (2007)<sup>[22]</sup>, sehingga parameter kalibrasi yang digunakan dalam proses validasi dapat diterima di lapangan lain.

Hidrografi debit simulasi, observasi dan curah hujan tahun untuk tahun 2014 yang disajikan pada Gambar 3, menunjukkan curah hujan (PREC) tertinggi terjadi pada bulan Oktober 2014 sebesar 213,43 mm, hal ini sejalan dengan debit observasi tertinggi yang terjadi pada bulan November sebesar 490,05 m<sup>3</sup>/dtk, dan debit model/simulasi tertinggi terjadi juga pada bulan yang sama sebesar 522,20 m<sup>3</sup>/dtk.

Keadaan ini menunjukkan hampir sama pada proses kalibrasi, bahwa tingginya curah hujan tidak langsung menyebabkan naiknya debit observasi, tapi curah hujan sebagian besar tersimpan dalam tanah berupa cadangan air tanah, disini debit model/simulasi menunjukkan keakuratan yang baik dalam menduga debit observasi karena debit observasi tertinggi terjadi pada bulan yang sama. Curah hujan bulanan terendah terjadi pada bulan Juli sebesar 34,37 mm, sedangkan debit observasi terendah terjadi pada bulan Februari sebesar 86,60 m<sup>3</sup>/dtk, namun debit simulasi terendah terjadi pada bulan September sebesar 99,62 m<sup>3</sup>/dtk.



Gbr. 3. Grafik Hidrografi debit simulasi, observasi dan curah hujan tahun 2014 DTA Waduk PLTA Kotopanjang.

### 3.3. Analisa Koefisien Regim Sungai (KRS)

Salah satu parameter koefisien regim sungai (KRS) yang dapat dijadikan sebagai indikator debit air yang berlebihan atau kekurangan air yang dapat mengakibatkan banjir dan kekeringan. Menurut Kurniadiningsih *et al.* (2009)<sup>[26]</sup> Bila perbandingan debit maksimum dengan minimum kecil berarti aliran air terjadi sepanjang tahun, kemampuan tanah dalam menyimpan dan melepaskan air baik.

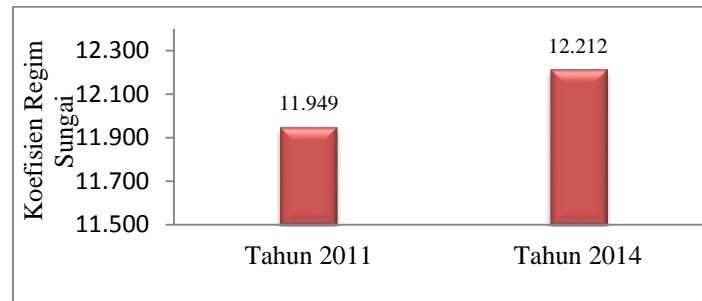
Nilai Koefisien regim sungai (KRS) di DTA Waduk PLTA Kotopanjang yang disajikan dalam Tabel 2 dan disajikan dalam bentuk grafik dalam Gambar 6, adalah pada penggunaan lahan tahun 2011 dari hasil kalibrasi debit simulasi/model dalam periode tahun 2011 – 2012, dan penggunaan lahan tahun 2014 dari hasil validasi terhadap debit simulasi/model untuk periode 2013 – 2014 yang dianalisa menggunakan rumus nomor 7.

Nilai KRS berdasarkan debit maksimum dan minimum di DTA Waduk PLTA Kotopanjang pada penggunaan lahan tahun 2011 dan 2014

Penggunaan lahan	Debit maksimum (Q <sub>mak</sub> )	Debit minimum (Q <sub>min</sub> )	Koefisien Regim Sungai (Q <sub>mak</sub> /Q <sub>min</sub> )
	(m³/dt)		(KRS)
1. Tahun 2011	521,10	43,61	11,949
2. Tahun 2014	521,70	42,72	12,212

Pada penggunaan lahan tahun 2011 debit maksimum ( $Q_{\max}$ ) dan debit minimum ( $Q_{\min}$ ) simulasi/model yang terjadi masing-masing 521,70 m<sup>3</sup>/dt dan 43,61 m<sup>3</sup>/dt dengan nilai KRS sebesar 11,949. Untuk tahun 2014 debit maksimum ( $Q_{\max}$ ) dan debit minimum ( $Q_{\min}$ ) simulasi/model masing-masing 532,20

m<sup>3</sup>/dt dan 42,72 m<sup>3</sup>/det dengan nilai KRS sebesar 12,212. Nilai KRS tahun 2011 dan 2014 yang masing-masing 11,949 dan 12,212 < 50 berdasarkan klasifikasi oleh Pramono *et al.* (2014)<sup>[17]</sup> masih tergolong baik.



Gbr. 6. Grafik nilai KRS di DTA Waduk PLTA Kotopanjang pada penggunaan lahan tahun 2011 dan 2014

Nilai KRS yang didapat lebih kecil jika dibandingkan nilai KRS dari hasil penelitian Hidayat *et al.* (2014)<sup>[23]</sup>, dalam periode tahun 1999 – 2011 nilai KRS di DAS Ciujung antara 83 – 163 (sedang – jelek), dan Mubarak *et al.* (2015)<sup>[15]</sup> nilai KRS di DAS Way Betung tahun 2001, 2006, dan 2010 masing-masing 30,65, 66,25, dan 53,57 (baik- sedang) serta Mahmud *et al.* (2009)<sup>[26]</sup> dengan nilai KRS di DAS Serang tahun 2004 – 2007 antara 69 – 200 (sedang – jelek).

Untuk menjaga fluktuasi antara debit maksimum dan minimum agar tetap kecil diperlukan usaha pengelolaan penggunaan lahan yang cocok dan sesuai dengan kondisi situasi di lapangan terutama dalam jenis vegetasi, sehingga nilai koefisien regim (KRS) dapat dipertahankan mempunyai nilai yang kecil hal ini dilakukan dalam rangka menjaga kestabilan ketersediaan air di Waduk PLTA Kotopanjang.

#### 4. KESIMPULAN

Berdasarkan simulasi model SWAT (SWAT CUP Sufi 2) dalam proses kalibrasi menggunakan debit observasi tahun 2010 – 2014 dan validasi menggunakan debit observasi tahun 2013 – 2014 dapat diambil kesimpulan sebagai berikut :

1. Pada penggunaan lahan tahun 2011 debit maksimum ( $Q_{\max}$ ) dan debit minimum ( $Q_{\min}$ ) simulasi/model yang terjadi

masing-masing 521,70 m<sup>3</sup>/dt dan 43,61 m<sup>3</sup>/dt dengan nilai KRS sebesar 11,949.

2. Untuk penggunaan lahan tahun 2014 debit maksimum ( $Q_{\max}$ ) dan debit minimum ( $Q_{\min}$ ) simulasi/model masing-masing 532,20 m<sup>3</sup>/dt dan 42,72 m<sup>3</sup>/det dengan nilai KRS sebesar 12,212.
3. Nilai KRS tahun 2011 dan 2014 yang masing-masing 11,949 dan 12,212 < 50 masih berada dalam kategori baik.

#### 5. DAFTAR PUSTAKA

- [1] Siagian, M, 2010, Daya dukung Waduk PLTA Kotopanjang Kampar Propinsi Riau, *Jurnal Perikanan dan Kelautan*, 15 (1) : 25 – 38.
- [2] PT. PLN (Persero), 2014. *PLTA Kotopanjang 114MW PT. PLN (Persero) Sektor Pembangkit Pekanbaru*, <https://pltakotapanjang.wordpress.com/>, 29 Maret 2015 (13: 16).
- [3] Rosalina, H, Sujianto, dan S.S. Husen, 2014, Strategi pengembangan ekowisata di kawasan Waduk Pembangkit Listrik Tenaga Air (PLTA) Kotopanjang Kabupaten Kampar, *Dinamika Lingkungan Indonesia* 1 (2) : 97 – 108.
- [4] Mulyadi, A, 2003, Industri Listrik PLTA Koto Panjang Vs permasalahan

- lingkungan, *Jurnal Industri dan Perkotaan* 3 (13) : 625 – 63.
- [5] Mustiono, I. D, 2010, Kajian aktivitas ekonomi masyarakat terhadap kelestarian lingkungan Cthment Area PLTA Kotopanjang – Kabupaten Kampar, *Jurnal of Environmental Science* 2010 : 54 – 62.
- [6] Chapter, D, 2004, *Mapinfo professional*, Informatika Bandung, Bandung.
- [7] Neitsch S.L, J. G. Arnold, J. R. Kiniry, dan R. Williams, 2005, *Soil And Water Assessment Tool Theoretical Documentation Version 2009*, Soil and Water Reasearch Laboratory-Agricultural Research Service Blackland Reasearch Center – Texes.
- [8] Abbaspour, K. C, 2015, *SWAT-CUP : SWAT calibration and uncertainty programs-a user manual*, Ewag : Swiss Federal Institute of Aquatic Technology.v
- [9] Mecrham, S, M. Mawardai, dan P. Sudina, 2012, Aplication model AVSWAT2000 to predict surface runoff, erosion, and sedimentationin Keduang Watershed: Upper Bengawan Solo Watershed, *Jurnal AGRITECH* 32 (3) : 325 – 330.
- [10] Hanning, J. E, I. A. Antonaropoulus, P. Droggers, dan J. De Vente, 2013, Targeting of intervention areas to reduce in-catchment sedimentation in theTana catchment (Kenya) using SWAT, *Hydrological Sciences Journal-Journal des Sciences Hydrologiques* 58 (3) :1 – 11.
- [11] Aderiyi, G. A, F. S. Bolaji, W. S. Adebayo, O. M. Salami, dan O. D. Michael, 2014, Validation of SWAT model for prediction of water yield and water balance : Case study of upastream catchment of dam in Nigeria, *International Journal of Mathematical, Computational, Natural and Phisical Engineering* 8 (2) : 264 – 269.
- [12] Firdaus, G, O. Haridjaja, dan S. D. Tarigan, 2014, Analisis respon hidrologi terhadap penerapan teknik konservasi tanah di Sub DAS Lengkong menggunakan model SWAT, *Jurnal Tanah Lingkungan* 16 (1) : 16 – 23.
- [13] Ridwansyah, I, H. Pawitan, N. Sinukaban, dan Y. Hidayat, 2014, Watershed modeling ArcSWAT and SUFI 2 in Cisadane catchment area : Calibration and validation to prediction river flow, *International Journal of Science and Engineering (IJSE)* 6 (2) : 12 -21.
- [14] Andono, R, L. M. Limantara, dan P. T. Juwono, 2014, Studi penilaian indikator kinerja DAS Konawehea akibat perubahan tata guna lahan berdasarkan kriteria hidrologi, *Jurnal teknik Pengairan* 5 (1) : 54 – 60.
- [15] Mubarak, Z, K. Murtiلاسosno, dan E. D. Wahjunie, 2015, Kajian respons perubahan penggunaan lahan terhadap karakteristik hirologi DAS Way Betung – Lampung, *Jurnal Penelitian Kehutanan Wallacea* 4 (1) : 1 – 10.
- [16] Ferijal, T, S. Mecrham, D.S. Jayanti, dan P. Satriyo, 2015, Pemodelan daerah tangkapan air Waduk Keliling dengan model SWAT, *Jurnal Agritek* 35 (1) : 121 – 127.
- [17] Pramono, I, B, E. Savitri, S. Donie, dan T. M. Basuki, 2014, *Sistem pengelolaan daerah tangkapan air waduk*, Balai Penelitian Teknologi Kehutanan Pengelolaan Daerah Aliran Sungai, Kementerian Lingkungan Hidup dan Kehutanan, Surakarta.
- [18] Caya, T. Gunawan, S. W. Suprodjo, dan L. Muta'ali. 2014. Optimalisasi penggunaan lahan untuk agroforestri di DAS Cimanuk Propinsi Jawa Barat. *Jurnal TEKNOSAINS* 4 (1) : 39 – 53.
- [19] Sihotang, H. 2012. Model konservasi sumberdaya air Danau Toba. Disertasi. Sekolah Pascasarjana Institut Pertanian Bogor. Bogor.
- [20] Maryanto, A., K. Murtiلاسono, dan L. M. Rachman. 2014. Perencanaan penggunaan hahan dan pengaruhnya



terhadap sumberdaya air di DAS Way Besai-Lampung. *Jurnal Penelitian Kehutanan Wallacea* 3 (2) : 85 – 95.

[21] Anaba, L. A, N. Banadda, N. Kiggundu, J. Wanyama, D. Moriasi, dan B. Engel, 2017, Application of SWAT to assess the effects of land use change in the Murchison bay catchment in Uganda. *Scientific Research Publishing* 6 : 24 – 40.

[22] Moriasi, D. N, J. G. Arnold, M. W. Van Liew, R. L. Biginer, R. H. Marmel, dan T. L. Veith, 2007, Model Evaluation Guidelines for Sistematic Quantification of Accuracy in Watershed Simulations, *Journal ASABE* 50 (3) : 885 – 900.

[23] Hidayat, Y, L. M. Rachman, dan S. D. Tarian, 2014, Kajian dampak perubahan penggunaan lahan terhadap debit aliran DAS Ciujung, *Jurnal Infrastruktur* 4 (2) : 78 – 85.

[24] Singh, V, N. Bankar, S. S. Salunkhe, A. K. Bera, dan J. R. Sharma, 2013, Hydrological stream flow modelling on Tungabhadra catchment: parameterization and uncertainty analysis using SWAT *CURRENT SCIENCE* 104 (9) : 1187 – 1199.

[25] Feriati, T, 2012, Prediksi hasil limpasan permukaan dan laju erosi dari Sub DAS Kluang Jereu menggunakan model SWAT, *Jurnal Agrista* 16 (1) : 29 – 38.

[26] Mahmud, H. Joko, dan S. Susanto, 2009, Penilaian status daerah aliran sungai (Studi kasus sub DAS Serang), *Jurnal AGROTECH* 29 (4) : 198 – 207.

Hak Cipta Dilindungi Undang-Undang

1. Dilarang mengutip sebagian atau seluruh karya tulis ini tanpa mencantumkan sumber:

a. Pengutipan hanya untuk kepentingan pendidikan, penelitian, penulisan karya ilmiah, penyusunan laporan, penulisan kritik atau tinjauan suatu masalah.

b. Pengutipan tidak merugikan kepentingan yang wajar UIN Ar-Raniry.

2. Dilarang mengumumkan dan memperbanyak sebagian atau seluruh karya tulis ini dalam bentuk apapun tanpa izin UIN Ar-Raniry.

